

**ЗАЛЕЖНІСТЬ ІЗОМЕРНИХ ВІДНОШЕНЬ, ОДЕРЖАНИХ У РЕАКЦІЯХ ( $\gamma$ , n)  
ДЛЯ ІЗОТОНІВ  $^{197}\text{Pt}$  ТА  $^{197}\text{Hg}$  ВІД ЕНЕРГІЇ ГАММА-КВАНТІВ**

**В. О. Желтоножський<sup>1</sup>, В. М. Мазур<sup>2</sup>, З. М. Біган<sup>2</sup>, Д. М. Симочко<sup>2</sup>**

<sup>1</sup>Інститут ядерних досліджень НАН України, Київ

<sup>2</sup>Інститут електронної фізики НАН України, Ужгород

В інтервалі 8 - 17 MeV досліджено залежність ізомерних відношень виходів від енергії гамма-квантів у реакціях  $^{198}\text{Pt}(\gamma, n)^{197m}\text{Pt}$  і  $^{198}\text{Hg}(\gamma, n)^{197m}\text{Hg}$ . Одержані експериментальні результати порівнюються з розрахунками в рамках каскадно-випарювальної моделі, а також із результатами, одержаними під дією частинок.

Ізотопи платини та ртути масами  $A \approx 185 - 200$ , розташовані між сильнодеформованими ядрами рідкоземельних елементів та областю сферичних ядер району свинцю, належать до перехідних ядер. Розглядаючи сукупність даних по спектрах їх низькоенергетичних збуджень [1 - 3], можна відзначити непростий характер зміни форми поверхні розглядуваних нуклідів, про що свідчить й еволюція характеристик спектрів низькоенергетичних збуджень (рис. 1). На рисунку наведено енергії  $2_1^+$ ,  $4_1^+$  – перших і других збуджених рівнів основної смуги, а також  $0_2^+$ ,  $2_2^+$  – перших рівнів бета- і гамма-вібраційних смуг відповідно. Спектри низькоенергетичних збуджень ядер  $^{197}\text{Pt}$  і  $^{197}\text{Hg}$  значною мірою формуються одночастинковими (дірковими) станами  $3p_{1/2}$ ,  $2f_{5/2}$ ,  $3p_{3/2}$ ,  $1i_{13/2}$ . Останній стан і визначає наявність ізомерного рівня з  $J^\pi = 13/2^+$ . І хоч основні характеристики гіантського E1-резонансу достатньо добре вивчені для широкого кола ядер [4, 5], вивчення функції залежності ізомерних відношень від енергії гамма-квантів у  $(\gamma, n)^m$ -реакціях для ядер  $^{197}\text{Pt}$  і  $^{197}\text{Hg}$  не проводилося. На теперішній час є всього кілька робіт, виконаних на мішенях природного ізотопного складу по

вимірюванню ізомерних відношень виходів, тобто відношення виходу збудження ізомерного рівня  $Y_m$  до основного  $Y_g$   $d = Y_m / Y_g$  у реакції  $(\gamma, n)^m$  в одній енергетичній точці при максимальній енергії гальмівного гамма-спектра  $E_{\gamma\max} = 30$  MeV [6, 7].

Дослідження реакцій  $^{198}\text{Pt}(\gamma, n)^{197m,g}\text{Pt}$  та  $^{198}\text{Hg}(\gamma, n)^{197m,g}\text{Hg}$  проводилися нами на пучку гальмівних гамма-квантів мікротрона М-30 Інституту електронної фізики НАН України. Виходи вимірювалися в інтервалі енергій 8 - 17 MeV. При цьому треба мати на увазі, що поріг реакції  $(\gamma, n)$  становить по ізотопу  $^{198}\text{Pt}$  – 7,8 MeV, а для  $^{198}\text{Pt}$  – 8,3 MeV. В якості мішеней використовувалися окис природної ртути ( $\text{HgO}$ ) і пластинки металічної платини. Наведена активність опромінених взірців вимірювалася за допомогою Ge(Li)-детектора об'ємом 100  $\text{cm}^3$ . Більш детально процедура вимірювання наведена в роботах [8, 9].

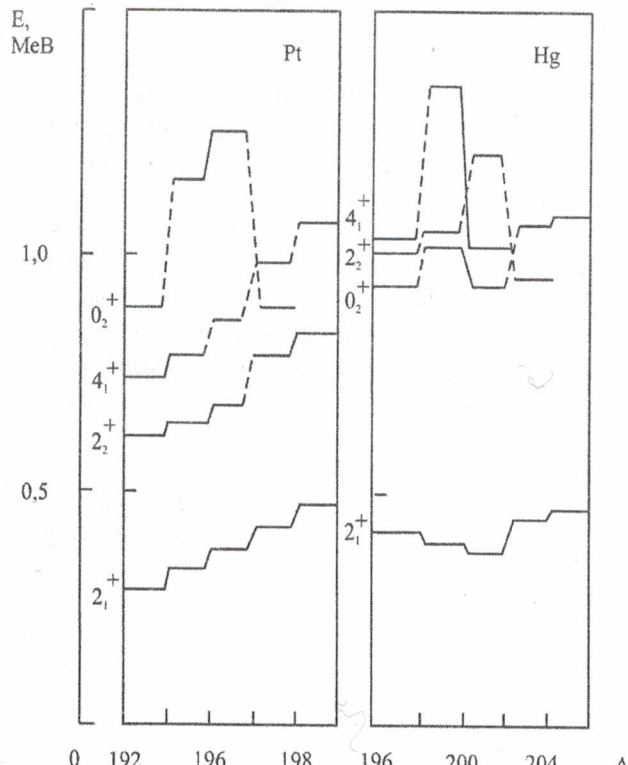


Рис. 1. Систематика енергій низьколежачих збуджених колективних станів  $2_1^+$ ,  $4_1^+$ ,  $0_2^+$ ,  $2_2^+$ .

Утворені в реакціях  $(\gamma, n)$  ядра  $^{197}\text{Pt}$  і  $^{197}\text{Hg}$  нестабільні. В обох випадках у результаті розпаду заселяється стабільний ізотоп  $^{197}\text{Au}$ . Оскільки основні стани досліджуваних нуклідів нестабільні, то безпосереднім експериментальним результатом можна одержати ізомерне відношення виходів, використовуючи формулу [10]

$$d = \frac{Y_m}{Y_g} = \frac{\lambda_g - \lambda_m}{\left\{ c \frac{N_g}{N_m} \cdot \frac{\varphi_m}{\varphi_g} (\lambda_g - \lambda_m) - p \lambda_g \right\} \frac{\lambda_g}{\lambda_m} \cdot \frac{f_m(t)}{f_g(t)} + p \lambda_m}, \quad (1)$$

$$\text{де } f_{m,g} = \left(1 - e^{-\lambda_{m,g} t_{\text{опр}}} \right) \left( e^{-\lambda_{m,g} t_{\text{окол}}} \right) \left(1 - e^{-\lambda_{m,g} t_{\text{вим}}} \right); \varphi_{m,g} = \xi_{m,g} \cdot k_{m,g} \cdot \alpha_{m,g}.$$

Тут  $\xi_m, \xi_g$  – фотоефективність детектора при реєстрації гамма-лінії розпаду ізомерного (m) і основного (g) стану;  $k_m, k_g$  – поправка на самопоглинання відповідних ліній;  $\alpha_m, \alpha_g$  – інтенсивність ліній, відповідальних за розпад ізомерного (m) і основного (g) стану;  $\lambda_m, \lambda_g$  – постійні розпаду метастабільного й основного стану;  $t_{\text{опр}}, t_{\text{окол}}, t_{\text{вим}}$  – часи опромінення, охолодження, вимірювання;  $N_m, N_g$  – кількість імпульсів у відповідних фотопіках;  $c$  – поправка на прорахунки та накладання імпульсів;  $p$  – коефіцієнт розгалуження.

Спектроскопічні характеристики – спін-парність основного й ізомерного станів  $J^\pi$ , різниця спінів основного  $J_g$  й ізомерного  $J_m$  станів  $\Delta J = |J_g - J_m|$ , енергія гамма-ліній, за якими вимірювався розпад  $E_\gamma$ , інтенсивність лінії I, період напіврозпаду  $T_{1/2}$ , коефіцієнт розгалуження р бралися із робіт [4, 5] і наведені в табл. 1. При цьому уточнене значення періоду напіврозпаду основного стану  $^{197}\text{Pt}$   $T_{1/2} = 19,96 \pm 0,05$  год узято з роботи [11].

Таблиця 1. Спектроскопічні характеристики основного та ізомерного станів ізотопів  $^{197}\text{Pt}$  і  $^{197}\text{Hg}$

Ізотоп	$J_m^\pi, J_g^\pi$	$\Delta J = J_m - J_g$	Енергія лінії $E_\gamma$ , кеВ	Інтенсивність лінії I, %	$T_{1/2}$ , роки	P
$^{197m}\text{Pt}$	$13/2^+$	6	346	12,4	1,573	0,97
$^{197g}\text{Pt}$	$1/2^-$		191,4	6,7	19,9	
$^{197m}\text{Hg}$	$13/2^+$	6	133,9	34,2	23,8	0,935
$^{197g}\text{Hg}$	$1/2^-$		191	0,96	64,4	

Експериментальні ізомерні відношення  $d = Y_m / Y_g$ , одержані в реакціях  $^{198}\text{Pt}(\gamma, n)^{197}\text{Pt}$  та  $^{198}\text{Hg}(\gamma, n)^{197}\text{Hg}$ , наведено на рис. 2. Похибки на рисунку – середньоквадратичні. При цьому відносні статистичні похибки при енергіях  $E_{\gamma\max} = 9 - 10$  MeВ становили  $\sim 1 - 2 \%$ , а при енергії  $E_{\gamma\max} \approx 16$  MeВ –  $0,2 \%$ . Точні значення ізомерних відношень для деяких енергій в  $^{197}\text{Pt}$  наведено в табл. 2. Установлений поріг реакції  $^{198}\text{Pt}(\gamma, n)^{197}\text{Pt}$  становить  $8,9 \pm 0,15$  MeВ, що на 0,9 MeВ перевищує енергетичний поріг реакції  $(\gamma, n)^m$  для цього ядра. Відповідно поріг реакції  $^{198}\text{Hg}(\gamma, n)^{197}\text{Hg}$  складає  $9,7 \pm 0,15$  MeВ, що на 1,1 MeВ перевищує розрахункову енергію порога реакції  $(\gamma, n)^m$ . Наявність такого значного порога заселення метастабільного стану

Таблиця 2. Ізомерні відношення для деяких енергій в  $^{197}\text{Pt}$

$E_m$ , MeВ	$Y_m/Y_g$	$E_m$ , MeВ	$Y_m/Y_g$
10	$0,015 \pm 0,002$	14	$0,114 \pm 0,002$
12	$0,031 \pm 0,003$	15	$0,150 \pm 0,003$
13	$0,100 \pm 0,004$	16	$0,172 \pm 0,003$

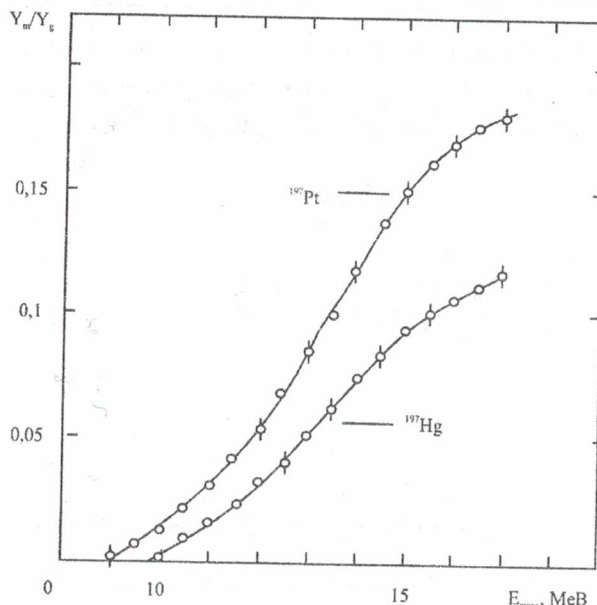


Рис. 2. Залежність експериментальних ізомерних відношень виходів від енергії  $E_{\gamma\max}$  ізотопів  $^{197}\text{Pt}$  і  $^{197}\text{Hg}$ .

товим моментом 1 і енергією  $\varepsilon$ , а ядро переходить при цьому в стан  $(J_f, \pi_f)$ .

Імовірність утворення складового ядра із спін-парністю  $(J_c, \pi_c)$  при поглинанні такого нейтрона обчислювалась за формулою

$$P(J_c, \pi_c) = W(J_c) / \sum_{J=J_g-1}^{J_g+1} W(J), \quad \pi_c = (-1)^{(J_g)}, \quad (2)$$

де  $(J_g, \pi_g)$  - спін-парність основного стану ядра;  $W(J)$  - відносна густина рівнів із даним спіном  $J$ .

$$W(J) = \rho(J)/\rho(0) = (2J+1)\exp[-J(J+1)/2\sigma^2]. \quad (3)$$

Спінову частину густини рівнів  $\rho(J)$  брали із моделі фермі-газу [14 - 16]

$$\rho(U, J) = \rho(U)\rho(J) = \frac{1}{24\sqrt{2}} \frac{2J+1}{\sigma^3 a^{1/4} U^{5/4}} \exp\left\{\sqrt{aU} - \frac{(J+1/2)^2}{2\sigma^2}\right\}, \quad (4)$$

де  $\rho(U)$ ,  $\rho(J)$  - енергетична й спінова частина формули густини рівнів відповідно;  $a$  - енергетичний параметр густини рівнів;  $\sigma$  - параметр спінового обмеження, який згідно з [15] можна обчислити за формулою  $\sigma^2 = 0,0889\sqrt{aU} \cdot A^{2/3}$ . Тут  $A$  - масове число,  $U$  - ефективна енергія збудження, яка визначається як  $U = E - \Delta$  [15], де  $\Delta$  - енергія спарювання,  $E$ ,  $J$  - енергія й спін збуджених рівнів.

Збудження утвореного дочірнього ядра зі спін-парністю  $(J_f, \pi_f)$  знімається каскадом дипольних гамма-переходів, останній з яких і заселяє ізомерний або основний стан. При цьому число гамма-переходів і середня енергія переходу рівна:

$$N_\gamma = \frac{1}{2} \sqrt{aU}, \quad E = 4 \sqrt{\frac{U}{a} - \frac{6}{a^2}}. \quad (5)$$

обумовлено відносно значною різницею спінів  $\Delta J$  основного стану материнського ядра та ізомерного рівня ядра-продукта. Для заселення метастабільного стану каскадом гамма-квантів необхідно мінімум п'ять переходів або наявність швидких, з енергією  $\sim 1$  MeV, нейtronів, які можуть забезпечити відповідну зміну кутового моменту дочірнього ядра. Вище порога  $(\gamma, n)$ -реакцій ізомерне відношення виходів різко зростає і в області енергій 16 - 17 MeV має тенденцію виходу на плато, досягаючи помітної величини  $- d = 0,171$  для ядра  $^{197}\text{Pt}$  і  $d = 0,104$  для  $^{197}\text{Hg}$  при енергії  $E_{\gamma\max} = 16$  MeV.

Нами проведено розрахунки ізомерних відношень у рамках статистичної каскадно-випарувальної моделі [12, 13] за такою схемою: ядром поглинається гамма-квант із енергією  $E$ , із утвореного ядра із спін-парністю  $(J_c, \pi_c)$  вилітає нейtron з кутовим моментом 1 і енергією  $\varepsilon$ , а ядро переходить при цьому в стан  $(J_f, \pi_f)$ .

До задовільного узгодження розрахунків з експериментом при енергіях поглинутих гамма-квантів 14 – 16 MeV приводить фіксація параметра спінового обмеження  $\sigma = 3,4$  для  $^{198}\text{Pt}$  і  $\sigma = 3,0$  для  $^{198}\text{Hg}$ .

Для ядер  $^{197}\text{Hg}$  проведено виміри ізомерних відношень перерізів  $R = \sigma_m / (\sigma_m + \sigma_g)$  в реакціях під дією частинок (p, n), (d, 2n), (d, p), (n, 2n) тощо [17]. Порівняння цих результатів та одержаних у даній роботі в реакціях ( $\gamma$ , n) наведено на рис. 3. Ізомерне відношення виходів узято у вигляді  $\eta = Y_m / (Y_g + Y_g) = d / (d+1)$ .

Із рисунка видно, що при всіх випадках із ростом енергії падаючих частинок спостерігається ріст ізомерних відношень. При однакових енергіях ізомерне відношення, одержане в реакціях ( $\gamma$ , n), суттєво менше, ніж у реакціях під дією частинок. Така ситуація зрозуміла, оскільки частинки приносять в ядро значні кутові моменти і з ростом їх енергії величини цих моментів значно зростають, а в реакціях ( $\gamma$ , n) гамма-квант приносить практично фіксований момент  $l = 1$ .

Дещо більші близькі величини до фотонейтронних дає ізомерне відношення й реакція  $^{196}\text{Hg}(\text{d}, \text{p})^{197\text{m,g}}\text{Hg}$ . Така близькість пояснюється тим, що реакція ( $\text{d}, \text{p}$ ) іде через механізм підхвату. При цьому далеко не весь кутовий момент, що є у дейтрона, передається ядру мішенні, а протон забирає з собою більшу частину енергії дейтрона й енергія збудження дочірнього ядра залишається незначною, принаймні помітно меншою від енергії порога вильоту нейтрона.

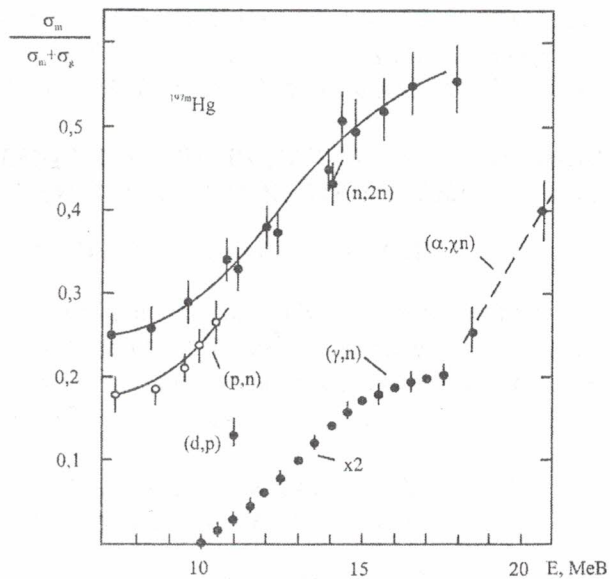


Рис. 3. Порівняння ізомерних відношень одержаних для ядра  $^{197}\text{Hg}$  в реакціях під дією частинок і в реакції  $(\gamma, n)$ .

## СПИСОК ЛІТЕРАТУРИ

1. Lederer C. M., Shirley V. // Tables of Isotopes. 7-th ed. - N. Y.: Wiley, 1978.
  2. Схемы распада радионуклидов. Публикации 38 МКРЗ. - М.: Энергоиздат, 1987.
  3. Borwne E., Firestone R. B. Table of Rad. Isotopes / Ed. by V. Shirley. - N.Y., 1986.
  4. Varlamov A. V., Varlamov V. V., Rudenko D. S. et al. // Atlas of Giant dipole resonanse. - IAEA, INDS-394. - 1999.
  5. Gurevich G. M., Lazareva L.E., Mazur V.M. et al. // Nucl. Phys. - 1981. – Vol. A 351. - P. 257 - 268.
  6. Давыдов М.Г., Магера В. Г., Трухов А. В.. // АЭ. - 1987. - Т. 62, вып. 4. - С. 236 - 243.
  7. Гангрский Ю. П., Тончев А. П., Балабанов Н. П. // ЭЧАЯ. - 1996. - Т. 27, вып. 4. - С. 1043 - 1046.

8. Биган З. М., Мазур В. М., Соколюк И. В. и др. // УФЖ. - 1990. - Т. 35, № 4. - С. 509 - 512.
9. Мазур В. М., Соколюк И. В., Биган З. М. // ЯФ. - 1991. - Т. 54. - С. 895 - 897.
10. Vanska R., Rieppo R. // Nucl. Instr. and Meth. - 1981. - Vol. 179 - P. 525 - 532.
11. Mohr P., Hutter C., Vogt K. et. al. // Eur. Phys. J. - 2000. - Vol. A7. - P. 45 - 49.
12. Арифов Л. Я., Мазитов Б. С., Уланов В. Г. // ЯФ. - 1981. - Т. 34. - Р. 1028 - 1043.
13. Биган М. В., Мазур В. М., Торич З. З. Изомерные отношения в реакциях (гамма, гамма') на тяжелых деформированных ядрах  $^{167}\text{Er}$ ,  $^{179}\text{Hf}$  и  $^{183}\text{W}$ . - Киев, 1985. - 12 с. - (Препр. / АН УССР. Ин-т ядерных исслед.; КИЯИ-85-15).
14. Bete H. // Phys. Rev. - 1936. - Vol. 50. - P. 332 - 334.
15. Малышев А. В. // Плотность уровней и структура атомных ядер. - М.: Атомиздат, 1969.
16. Игнатюк А. В. // Статистические свойства возбужденных ядер. - М.: Энергоатомиздат, 1983.
17. Vandenbosch R., Huizenga J. H. // Phys. Rev. - 1960. - Vol. 120 - P. 1313 - 1318.
18. Мазур В. М., Соколюк И. В., Биган З. М. и др. // ЯФ. - 1993. - Т. 56. - С. 20 - 24.

## ЗАВИСИМОСТЬ ИЗОМЕРНЫХ ОТНОШЕНИЙ, ПОЛУЧЕННЫХ В РЕАКЦИЯХ ( $\gamma$ , n) ДЛЯ ИЗОТОНОВ $^{197}\text{Pt}$ И $^{197}\text{Hg}$ ОТ ЭНЕРГИИ ГАММА-КВАНТОВ

В. А. Желтоножский, В. М. Мазур, З. М. Биган, Д. М. Симочко

В области 8 - 17 МэВ исследована зависимость изомерных отношений выходов от энергии гамма-квантов в реакциях  $^{198}\text{Pt}(\gamma, n)^{197m}\text{Pt}$  и  $^{198}\text{Hg}(\gamma, n)^{197m}\text{Hg}$ . Экспериментальные результаты сравниваются с расчетами в рамках каскадно-испарительной модели, а также с результатами, полученными под действием частиц.

## ISOMERIC RATIOS FROM GAMMA QUANTUM ENERGY DEPENDENCE FOR $^{197}\text{Pt}$ AND $^{197}\text{Hg}$ ISOTONES RECEIVED IN ( $\gamma$ , n)-REACTIONS

V. A. Zheltonozhsky, V. M. Mazur, Z. M. Bigan, D. M. Symochko

Within 8 - 17 MeV energy range the dependence of isomer yield ratios on gamma-quanta energy in the  $^{198}\text{Pt}(\gamma, n)^{197m}\text{Pt}$  and  $^{198}\text{Hg}(\gamma, n)^{197m}\text{Hg}$  reactions have been studied. The experimental results are compared with those calculated within framework of cascade-evaporation model as well as obtained under the influence of the particles.

Надійшла до редакції 31.03.05,  
після доопрацювання – 19.10.05.